

F.01 Aspecto del granito biotítico porfídico englobando a xenolitos máficos. Nótese la presencia de una cierta alineación mineral definida por los prismas de feldespatos.
Situación: lado sur de la autovía Madrid-Badajoz a la altura de su cruce con la carretera de Talavera a Mejorada).



F.10 Sección 0500, parte superior. Frentes del farallón del Cerro Valdehigueras. Alternancia de cuerpos arenosos arcósicos, en parte microconglomeráticos, y arcillas arenosas masivas (en tono marrón algo más oscuro). Contactos planos a suavemente erosivos. Límite entre unidades 8 y 12, Mioceno.



F.11 Sección 0100, parte superior. Frentes del farallón junto al Cerro Corona, Casa de la Vegada. Cuerpos arenosos arcósicos masivos con geometría tabular, con intercalaciones de arcillas arenosas masivas. Unidad 8, Mioceno. El techo de la sección aparece coronado por un potente nivel de conglomerados cuaternarios.



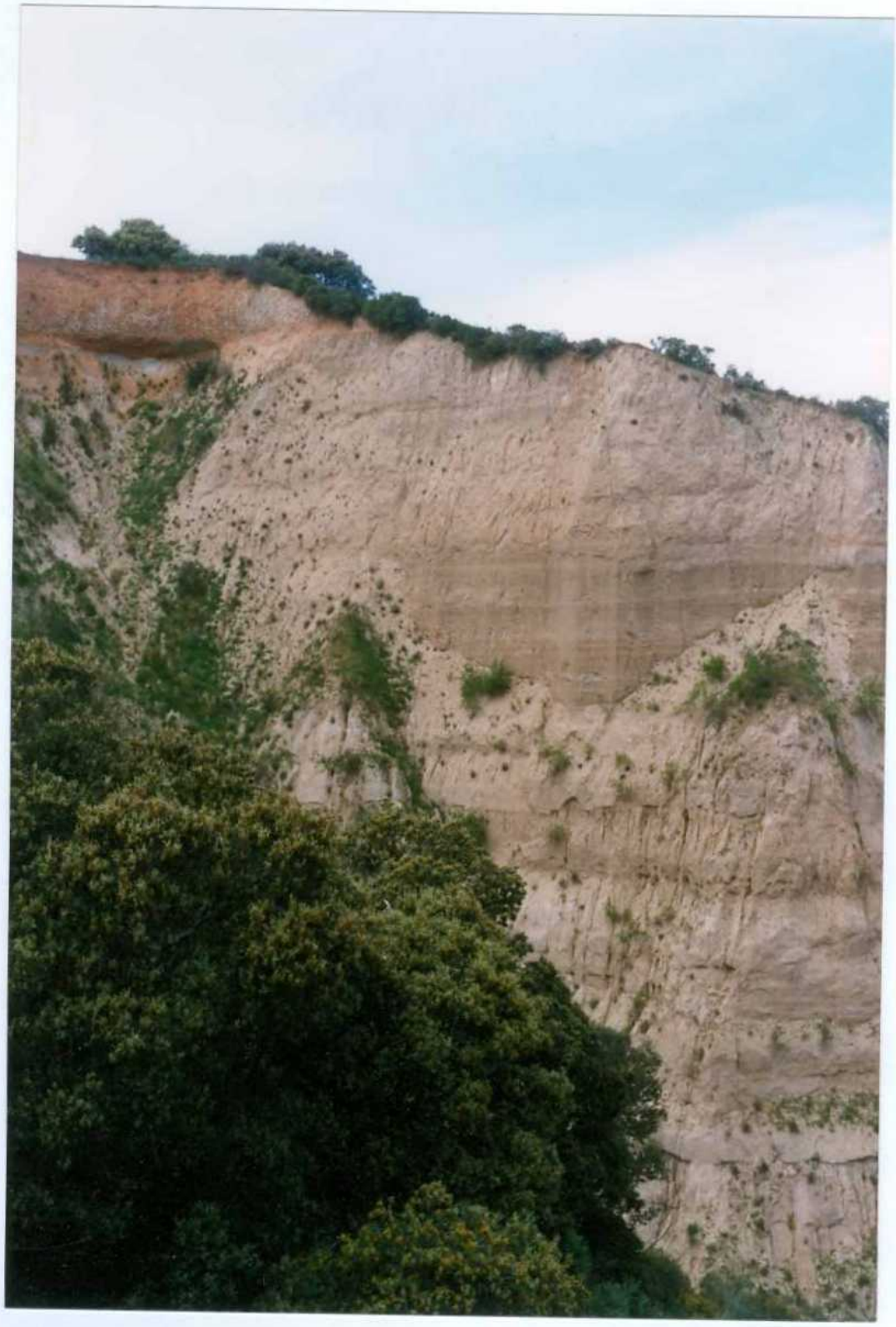
F.12 Panorámica del farallón sobre el meandro del río Tajo en la zona de La Hormiga. Sección 0300, parte inferior. Alternancia de cuerpos arenosos arcósicos, con morfología tabular a suavemente canalizada, y arcillas arenosas con laminación definida a gran escala. De derecha a izquierda se observa un paulatino relevo lateral de los cuerpos arenosos. Unidad 8, Mioceno.



F.13 Sección 0300, parte inferior. Meandro del río Tajo junto a la zona de La Hormiga. Alternancia de cuerpos arenosos arcósicos, con base localmente erosiva, y arcillas arenosas con laminación a gran escala 9 definida por intercalaciones más arenosas). Unidad 8, Mioceno.



F.14 Sección 0300, parte superior. Zona de La Hormiga. Aspecto general de la sucesión miocena con observación de las intercalaciones de cuerpos arenosos arcósicos, con geometría tabular a suavemente canalizada, entre arcillas. Obsérvese la laminación en las arcillas definida por niveles de enrojecimiento edáfico y/o pasadas arenosas finas; localmente se reconocen cuerpos arenosos, de escaso desarrollo, erosivos sobre las arcillas. Unidad 8, Mioceno.



F.15 Sección 0300, parte superior. Zona de La Hormiga. Aspecto general de la sucesión miocena (Unidad 8), coronada por conglomerados y arcillas cuaternarias rojizas. Obsérvese en los niveles inferiores los rasgos indicados en la fotografía anterior.



F.16 Panorámica del valle del río Tajo desde la zona de La Hormiga hacia el norte. La zona más próxima corresponde a los farallones miocenos, compuestos por arcillas y arenas arcósicas (Unidad 8). En la distancia, macizos graníticos del Sistema Central.



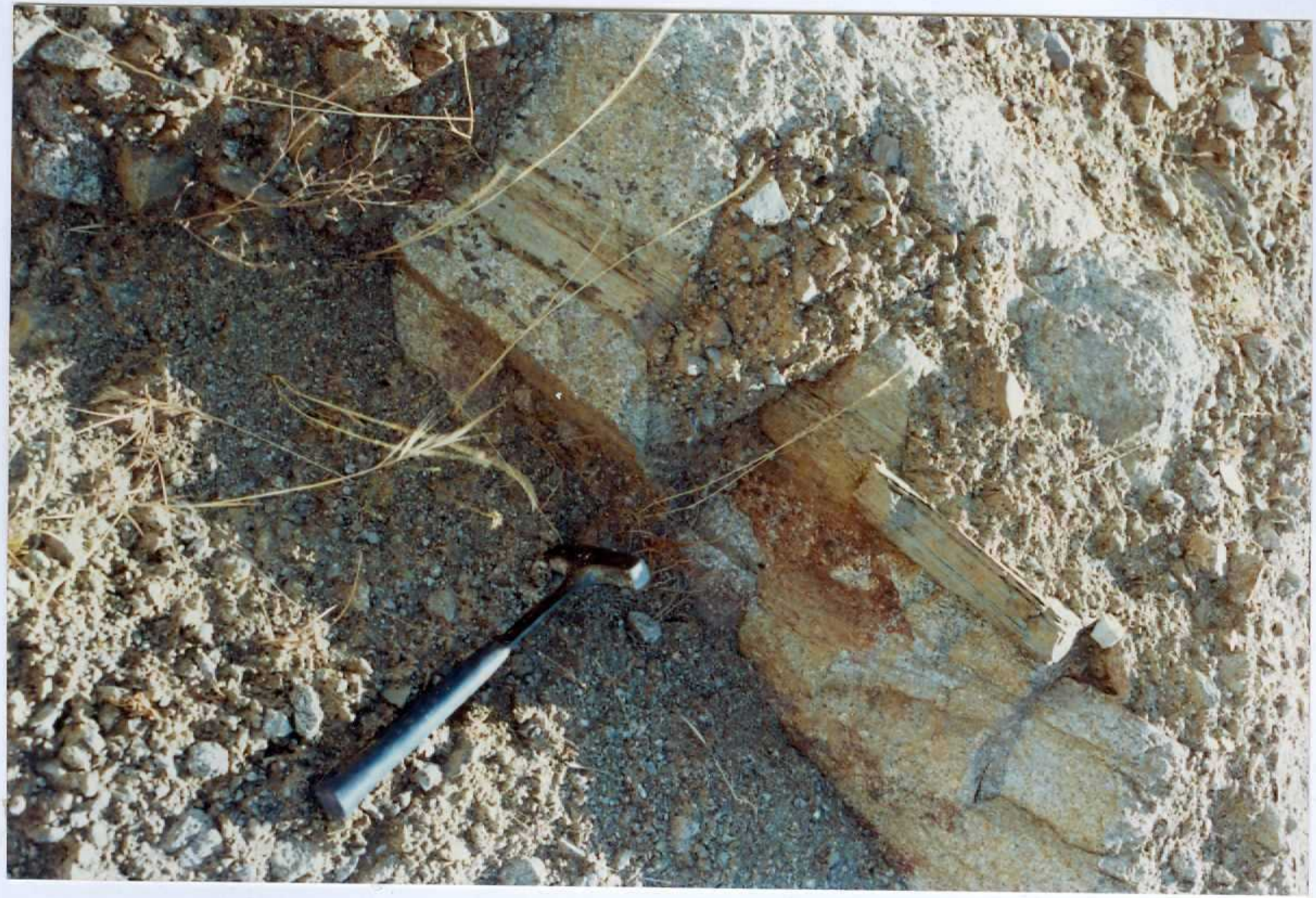
F.17 Vista panorámica desde la zona de La Hormiga hacia el E. Sucesión miocena (Unidad 8) formada por arenas arcósicas y arcillas culminada por conglomerados y arcillas cuaternarias (en rojo).



F.18 Sección 0200, parte media. Vertiente izquierda del río Sangrera. Cuerpo de arcosas gruesas con hiladas y pequeños bolsones de cantos sobre arcillas arenosas. Unidad 13, Mioceno.



F.19 Detalle de la fotografía anterior mostrando hiladas de gravas con centil de 8 cm separadas por arcosas muy gruesas con cantos de cuarzo y cuarcita dispersos. Unidad 13, Mioceno.



F.02 Aspecto del contacto entre granitos biotíticos y paraneises pre-ordovícicos. Localmente el granito intruye, como en el caso ilustrado en la fotografía, a favor de la esquistosidad de los neises. Afloramiento próximo al de la fotografía anterior.



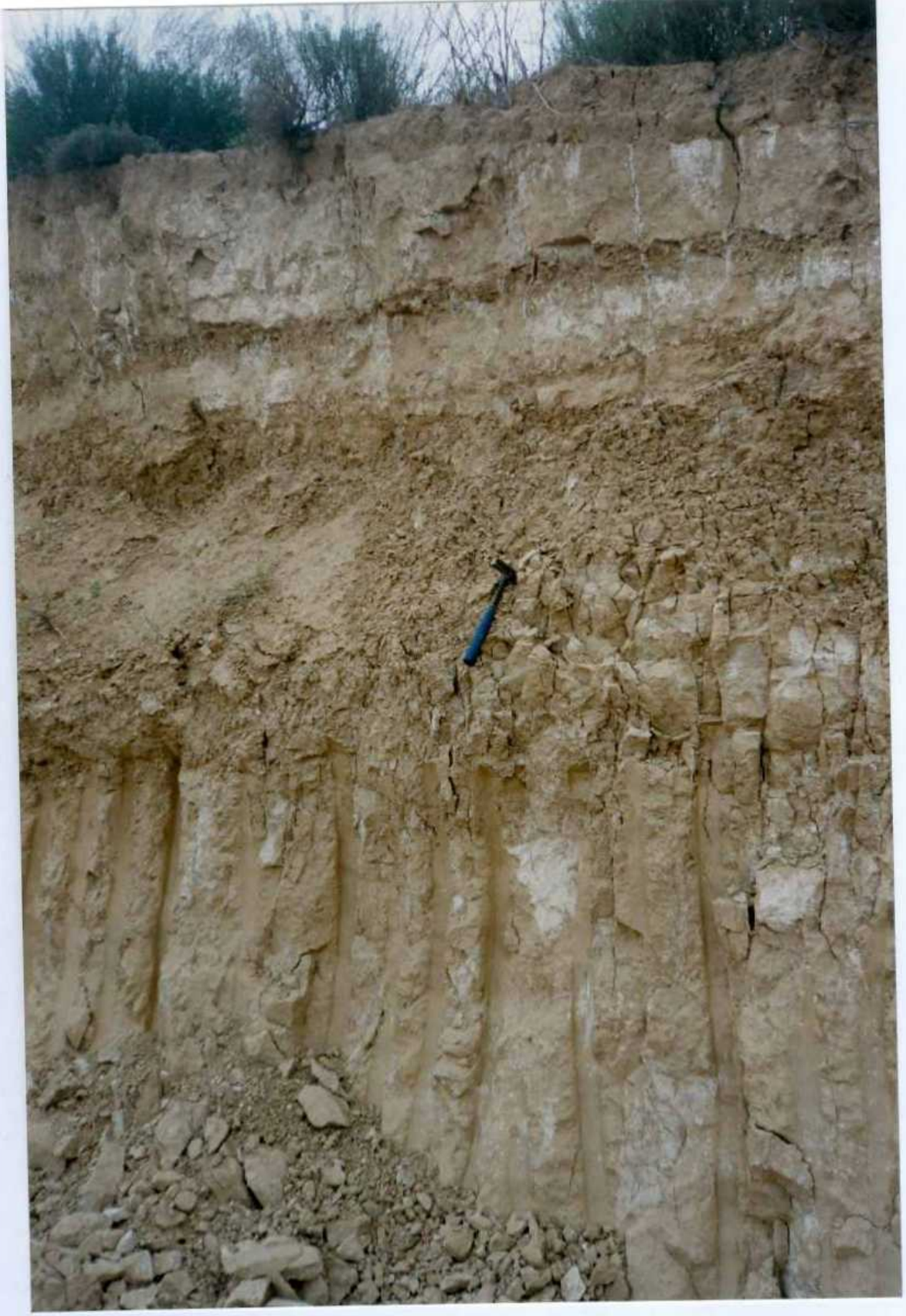
F.20 Fotomontaje mostrando el contacto entre depósitos cuaternarios (parte central de la fotografía) y niveles miocenos (extremo derecha). Trinchera de ferrocarril inmediatamente al sur de la localidad de Montearagón.



F.21 Vista de conjunto de los niveles miocenos señalados en la fotografía anterior. La sucesión está constituída por alternancia de depósitos arenosos arcósicos, de geometría tabular y base localmente erosiva, y arcillas arenosas masivas (Unidad 8, Mioceno). El conjunto aparece cubierto por depósitos de terraza.



F.22 Afloramiento de arenas arcósicas muy gruesas sobre arcillas arenosas. Base erosiva más destacable a la izquierda de la fotografía. Obsérvese el tránsito gradual rápido a arcillas arenosas a techo. Unidad 12, Mioceno. Situación: base del Cerro Asomadilla, carretera de Cebolla a Los Cerralbos.



F.23 Afloramiento de arcosas arcillosas y arcillas arenosas (Unidad 9, Mioceno) en cantera al NE de la localidad de Cebolla.



F.24 Vista panorámica del área de Val de Los Marcos (extremo oriental de la Hoja de Talavera), con Malpica de Tajo al fondo. Obsérvese el tono rojizo de las facies arcillosas, con intercalaciones de arcosas, características de este área. Unidad 10, Mioceno.



F.25 Vista panorámica del área de Val de Los Marcos hacia el NW. Sucesión compuesta por arcillas de tonos rojizos con pasadas de arcosas finas. Unidad 10, Mioceno.



F.26 Area de Val de Los Marcos. Alternancia de arcillas rojizas, localmente con niveles de calcreta (techo de la fotografía), y bancos de arenas arcósicas con geometría mal definida. Unidad 10, Mioceno.



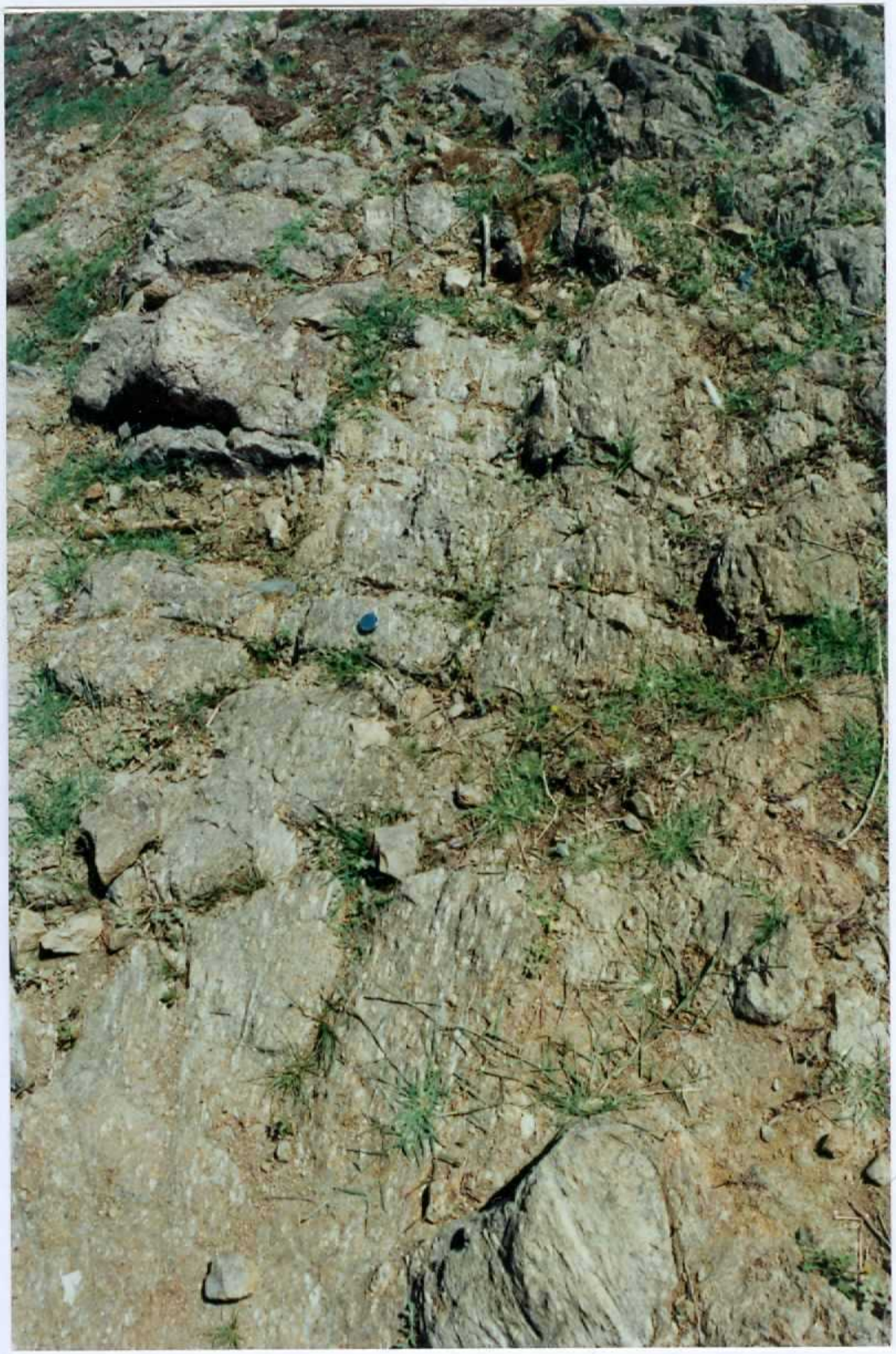
F.27 Nivel de calcreta (Unidad 11, Mioceno) a techo de arcillas rojizas con moteado pedogénico verdoso. Parte superior con arcosas masivas de tonos claros. Area de Val de Los Marcos.



F.28 Facies de arcillas arenosas rojizas con abundante moteado verdoso relacionado con rizotúbulos. Unidad 10, Mioceno. Situación: carretera de Malpica a Erustes. Parte media de la sección 0400.



F.29 Nivel de arenas arcósicas con estratificación cruzada de surco. Sección 0400, parte media. Situación: carretera de Malpica a Erustes. Unidad 10, Mioceno.



F.03 Aspecto de los ortoneises glandulares en el lado E del Embalse de La Portiña.



F.30 Nivel de arenas arcósicas reflejando relleno multialmacenado, con una primera fase de formación de barras, una segunda con relleno de arcillas y, por último, relleno de arenas con estratificación cruzada de surco a gran escala. Unidad 10, Mioceno. Sección 0400, parte media.



F.31 Panorámica del valle del río Pusa (extremo suroriental de la Hoja de Talavera) desde la Casa de Vacas. Al fondo, relieves correspondientes a Montes de Toledo.



F.32 Vista de la vertiente derecha del valle del río Pusa a la altura de la Casa de Vacas. Sucesión constituída por arcillas arenosas pardas con intercalaciones finas de arcosas (Unidad 9, Mioceno), coronada por niveles conglomeráticos y de arcillas



F.33 Sección mostrando en su parte inferior niveles de arcillas rojizas con bancos finos de calcreta a techo (indicado por martillo). Esta secuencia aparece cubierta por secuencias completas de arcosas-arcillas rojizas y calcreta (parte media de la sección). Unidad 10, Mioceno. Situación: vertiente derecha del valle del río Pusa, junto a la Labranza del Montón.



F.04 Aspecto de los gabros olivínicos en el lado E del Embalse de La Portiña.



F.05 Contacto por falla inversa entre los materiales Paleozoicos y arcosas Miocenas de la fosa tectónica del Embalse de La Portiña en el corte de la carretera de Talavera a Mejorada.



F.06 Vista general de la fosa del Embalse de La Portiña desde su parte sur. La falla inversa del lado sur, a la izquierda de la fotografía, limita las arcosas Miocenas con los materiales Paleozoicos (neises), mientras que en el lado norte dichas arcosas se sitúan discordantemente sobre granitos biotíticos. Este contacto es probablemente también una falla inversa en profundidad.



F.07 Vista general de la Sección 0500 desde su base, a la izquierda, en canteras de extracción de arenas hasta su techo en los altos del Cerro de Valdehigueras. Diferencia de cota en la sección representada en la fotografía, 120 metros. Unidad 8, Mioceno.



F.08 Sección 0500, parte inferior. Detalle de las alternancias de cuerpos arenosos arcósicos y arcillas arenosas. Nótese, de abajo a arriba, el techo de los niveles arcillosos afectado por procesos pedogénicos incipientes con enrojecimiento, las intercalaciones arenosas entre arcillas marcadas por halos de oxidación-reducción, y el contacto erosivo de las arenas en el techo del afloramiento. Unidad 8, Mioceno.



F.09 Sección 0500, parte inferior. Contacto erosivo entre arcillas arenosas pardas, con arenas arcósicas a la base, y un cuerpo arenoso arcósico grueso ligeramente erosivo. El contacto viene resaltado por un halo de oxidación - reducción a la base del canal arenoso. Unidad 8, Mioceno.